

## 第一章 机械振动

### (一) 选择题

1. 两个相同的弹簧，一端固定，另一端分别悬挂质量为  $m_1$ 、 $m_2$  的两个物体。若两个物体的振动周期之比为  $T_1:T_2=2:1$ ，则  $m_1:m_2=$  (4:1)

2. 做简谐振动的物体，每次通过同一位置时，可能不同的物理量是 (速度)

3. 质点作周期为  $T$ ，振幅为  $A$  的谐振动，则质点由平衡位置运动到离平衡位置  $A/2$  处所需的最短时间是: (  $D.T/12$  )

4. 一质点在  $x$  轴上做谐振动，振幅  $A=4\text{cm}$ ，周期  $T=2\text{s}$ ，其平衡位置取作坐标原点，若  $t=0$  时刻质点第一次通过  $x=-2\text{cm}$  处，且向  $x$  轴正方向运动，则质点第二次通过  $x=-2\text{cm}$  处时刻为  $(4\text{s}/3)$

5. 一质点以余弦函数规律沿  $x$  轴做简谐振动，其振幅为  $A$ ，周期为  $T$ ，初相位为  $\pi/2$ ，选平衡位置为坐标原点，则  $1/4T$  时刻质点的坐标为 (  $-A$  )

6. 下图 a 表示沿  $x$  周正方向传播的平面简谐波在  $t=0$  时刻的波形图，则图 b 表示的是 (质点 n 的振动曲线)

7. 一质点同时参与两个在同一直线上的谐振动，其振动方程分别为

$$x_1 = 4 \cos(2t + \frac{\pi}{6}), \quad x_2 = 3 \cos(2t + \frac{7\pi}{6})$$

则关于合振动有结论

D. 振幅等于  $1\text{cm}$ ，初相等于  $\frac{\pi}{6}$

8. 一质点作简谐振动，振动方程为

$$x = A \cos(\omega t + \varphi)$$

当时间  $t=T/2$  ( $T$  为周期) 时，质点的速度为

$$B. A\omega \sin \varphi$$

9. 一质点同时参与两个在同一直线上的简谐振动，起振动方程分别为

$$x_1 = \sqrt{3} \cos(2t + \pi/6)$$

$$x_2 = 3 \cos(2t + 2\pi/3)$$

则有关于合振动有结论

振幅等于 2 倍根号 3

初相等于  $\pi/2$

10. 一弹簧振子作谐振动，总能量为  $E$ ，若谐振动振幅增加为原来的 2 倍，重物的质量增加为原来的 4 倍，则它的总能量为 (  $4E$  倍 )

### (二) 填空题

1. 已知谐振动方程

为  $x_1 = A \cos(\omega t + \varphi)$ ，振子质量为  $m$ ，振幅为  $A$ ，则振子最大速度为  $\underline{\omega A}$ ，

最大加速度为  $\underline{\omega^2 A}$  振动系统总

能量为  $\frac{1}{2} m \omega^2 A^2$   
平均动能为  $\frac{1}{4} m \omega^2 A^2$  平均势能为  $\frac{1}{4} m \omega^2 A^2$

2. 一简谐振动的表达式

为  $x = A \cos(3t + \varphi)$  已知  $t=0$  时的位移是  $0.04\text{m}$ ，速度是

$0.09\text{m}\cdot\text{s}^{-1}$ 。则振幅  $A=$   $0.05\text{m}$  初相  $\varphi=$   $-\frac{37}{10}$ 。

3. 弹簧振子在光滑水平面上做简谐振动，弹性力在半个周期内所做的功为 0

4. 两个相同的弹簧以相同的振幅作谐振动，当挂着两个质量相同的物体时其能量相等，当挂着两个质量不同的物体仍以相同的振幅振动，其能量相等，振动频率不等。

5. 一弹簧振子作简谐振动，振幅为  $A$ ，周期为  $T$ ，运动方程用余弦函数表示，若  $t=0$  时，

(1) 振子在正的最大位移处，则初相位为 0。

(2) 振子在平衡位置向正方向运动，则初相位为  $-\pi/2$

(3) 振子在位移  $A/2$  处，向负方向运动，则初相位为  $\pi/3$ 。

6. 上面放有物体的平台，以每秒 5 周的频率沿竖直方向作简谐振动，若平台振幅超过  $0.01\text{m}$ ，物

体将会脱离平台。(  $g=9.8\text{m/s}^2$  )

7. 两个同方向同频率的简谐振动，其合振动的振幅为  $20\text{cm}$ ，与第一个简谐振动的相位差  $\varphi - \varphi_1 = \pi/6$  若第一个简谐振动的振幅为  $10\sqrt{3}\text{cm} = 17.3\text{cm}$ ，则第二个简谐振动的振幅为  $10\text{cm}$ 。第一、二个简谐振动的相位差  $\varphi_1 - \varphi_2$  为  $-\pi/2$

8. 物体的共振角频率与系统自身性质以及阻尼大小有关。系统的阻尼越大，共振时振幅值越低，共振圆频率越小。

### (三) 计算题

1. 一弹簧振子，振幅  $A=2\text{cm}$ ，最大速度  $u_m=8\pi\text{m/s}$ 。  $t=2\text{s}$  时， $x<0$ ， $u=u_m/2$ 。试求：(1) 振子的振动频率；(2) 振动方程。

解：(1)

$$v_m = \omega A \rightarrow \omega = v_m / A = 400\pi$$

$$\rightarrow \nu = \omega / 2\pi = 200\text{Hz}$$

(2)

$$\begin{cases} x = A \cos(\omega t + \varphi) \big|_{t=2\text{s}} < 0 \\ v = -v_m \sin(\omega t + \varphi) \big|_{t=2\text{s}} = v_m / 2 \end{cases}$$

$$\varphi \text{ 在第3象限} \rightarrow \varphi = -\frac{5\pi}{6}$$

$$x = 2 \cos(400\pi t - \frac{5\pi}{6}) \text{ cm}$$

2. 质点沿  $x$  轴作简谐振动(平衡位置为  $x$  轴的原点)，振幅为  $A=30$

$\text{mm}$ ，频率  $\nu=6\text{Hz}$ 。

(1) 选质点经过平衡位置且向  $x$  轴负方向运动时为计时零点，求振动的初位相。

(2) 选位移  $x=-30\text{mm}$  时为计时零点，求振动方程；

(3) 按上述两种计时零点的选取法，分别计算  $t=1\text{s}$  时振动的相位。

解：(1) 由旋转矢量图知：

$$\varphi = \frac{\pi}{2}$$

(2) 由旋转矢量图知：  $\varphi = \pi$

$$\omega = 2\pi\nu = 12\pi$$

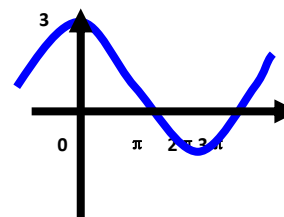
$$\Rightarrow x = 30 \cos(12\pi t + \pi) \text{ mm}$$

(3)

$$\varphi = \frac{\pi}{2}, \quad \omega t + \varphi = 12\pi + \frac{\pi}{2}$$

$$\varphi = \pi, \quad \omega t + \varphi = 12\pi + \pi$$

3. 已知弹簧振子速度曲线，求运动方程



解：设  $X = A \cos(\omega t + \phi)$

$$V = -A \sin(\omega t + \phi)$$

由图像有  $T=4\pi$  所以

$$\omega = 2\pi/T = 1/2$$

当  $t=0$  时  $v=3\text{cm/s}$

所以  $A\omega=3$   $A=6$

$$\sin \phi = -1 \quad \phi = -\pi/2$$

运动方程为

$$x = 6 \cos(1/2t - \pi/2)$$

4. 做简谐振动的小球，速度最大值  $v_m=3\text{cm/s}$  振幅  $A=2\text{cm}$  若从速度的正的最大值的某点开始计时时间 (1) 求振动的周期 (2) 求加速度的最大值 (3) 写出振动表达式

解：

(1) 因为  $v_m = A\omega$  所以  $\omega = v_m/A = 1.5T = 2\pi/\omega$  略

(2)  $a_{\text{max}} = \omega^2 A = 1.5^2 \cdot 2 = 4.5$  略

(3) 因为从速度的正的最大值开始计时，所以  $\phi = -\pi/2$  所以振动的表达式为

$X = A \cos(\omega t + \phi)$  ( $A$   $\omega$   $\phi$  上面已求)

5. 一弹簧振子沿  $x$  轴做简谐振动，振子的质量为  $2.5\text{kg}$  弹簧的劲度系数为  $250\text{N/m}$  当振子处于  $x$  轴正半轴某一位置且向  $x$  轴的负方向运动时开始计时 ( $t=0$ )，此时振子动能与势能相等，总能量为  $31.25\text{J}$ ，求弹簧振子的运动方程。

解：设  $X = A \cos(\omega t + \phi)$

$$E = 1/2 k(A^2) \text{ 所以 } A = 0.5\text{m}$$

$\omega = \sqrt{k/m}$  所以

$$\omega = 10 \text{ rad/s}$$

$$E_p = E/2 = 1/2 k(x^2)$$

$$\text{所以 } x = \pm \sqrt{2}/4$$

$$\text{有题意取 } x = \sqrt{2}/4$$

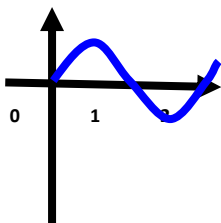
$$\text{以 } \phi = \pi/4$$

$$\text{所以 } x = 1/2 \cos(10t + \pi/4)$$

## 第二章 机械波

### (一) 选择题

1. 一平面简谐波，沿  $x$  轴负方向传播， $x=0$  处的质点的振动曲线如图所示。若波函数用余弦表示，则初相角为  $-\pi/2$



2. 如图所示，两列波长为  $\lambda$  的相干波在  $P$  点相遇， $S_1$  的初相位是  $\varphi_1$ ， $S_1$  点到  $P$  点的距离是  $r_1$ ， $S_2$  点的初相位是  $\varphi_2$ ， $S_2$  到  $P$  点的距离是  $r_2$ ，以  $k$  代表零或正、负数，则  $P$  点是干涉极大的条件为 ( )

D.  $\varphi_2 - \varphi_1 - \frac{2\pi}{\lambda}(r_2 - r_1) = 2k\pi$

3. 对于波动方程

$y = A \cos(\omega t - \omega x/v)$  中的  $(-\omega x/v)$  表示

D.  $x$  处质点的振动初相位。

4. 平面简谐波在同一介质中传播，下列说法中正确的是

C. 在波的传播方向上各质点都在各自的平衡位置附近振动。

5. 两列振幅相同的相干波在空间  $P$  点相遇，某时刻观测到  $P$  点的合成振动的位移既不等于这两列振幅之和，又不等于这两列波的振幅之差，则我们可以断言 ( )

A.  $P$  点不可能是振动最弱的点

D.  $P$  点可能是振动最强的点

6. 两相干波源  $S_1$  和  $S_2$  相距  $\lambda/4$ ， $S_1$  的相位比  $S_2$  的相位超前  $\pi/2$ ，在  $S_1, S_2$  的连线上， $S_1$  外侧各点 (例如  $P$  点) 两波引起的两简谐振动的相位差是 ( )

7. 关于驻波，以下见解正确的是 ( )

C. 波节处质点位移恒为零

8. 一平面简谐波在弹性媒质中传播，在媒质质元从最大位移出回到平衡位置过程中 ( )

C. 它从相邻的一段媒质质元获得能量，其能量逐渐增加

9. 在驻波中，两个相邻波节间各质点的振动 ( )

B. 振幅不同，相位相同

10. 若两波源的振动步调一致，激起两列波长相等的波相互叠加，某一时刻叠加区域中的  $P$  恰好为两列波的波峰和波谷相遇，那么在以后的时间里 ( )

A.  $P$  点的振动始终减弱

### (二) 填空题

1. 一横波的波动方程为：

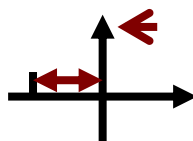
$$y = 0.01 \cos(250\pi t - 10\pi x) (\text{m})$$

若  $t=0.1\text{s}$ ，则  $x=2\text{m}$  处质点的位移为  $-0.01$  m，该处质点的振动速度为  $0$  m·s<sup>-1</sup>，加速度为  $625\pi^2$  m·s<sup>-2</sup>。

2. 如图所示，一平面简谐波沿  $Ox$  轴负方向传播，波长为  $\lambda$ ，若  $P$  处质点的振动方程是  $y_P = A \cos(2\pi \nu t + \frac{\pi}{2})$ ，则波的波动方程是

$$y = A \cos[2\pi \nu(t + \frac{x+l}{\lambda \nu}) + \frac{\pi}{2}]$$

$P$  处质点  $t_1 + \frac{l}{\lambda \nu}$  时刻的振动状态与  $O$  处的质点  $t_1$  时刻的振动状态相同。



3. 一平面简谐波在媒质中传播，在某时刻，某质元的动能最大时，其势能最大

4. 两相干波源  $S_1$  和  $S_2$ ，相距  $20\text{m}$ ，其振幅相等，周期为  $0.2\text{s}$ ，在同一媒质中传播，波速度均为  $40 \text{ m} \cdot \text{s}^{-1}$ 。 $S_1$  的振动方程：

$$y_1 = A \cos(10\pi t + \pi/2)$$

$S_2$  的振动方程：

$$y_2 = A \cos(10\pi t - \pi/2)$$

以  $S_1, S_2$  连线为坐标轴  $x$ ，以  $S_1, S_2$  连线中点为原点，则  $S_1, S_2$  间因干涉而静止的各点的坐标： $x = 4k$  ( $k=0, \pm 1, \pm 2, \dots$ )

5. 两列平面简谐波在一很长的弦上传播，设其方程

$$y_1 = 5 \cos(20\pi t - \frac{\pi}{10} x + \frac{\pi}{2})$$

$$y_2 = 5 \cos(20\pi t + \frac{\pi}{10} x - \frac{\pi}{2})$$

则弦线上波腹的位置

$$10k+5 \quad (k=0, \pm 1, \pm 2, \dots)$$

6. 在简谐驻波中，同一波节两侧的两个媒质元 (在距该波节二分之一波长的范围

内) 的振动相位差是  $\pi$

7. 在截面积为  $S$  的圆管中，有一列平面简谐波传播，表达式为  $y = A \cos(\omega t - 2\pi x/\lambda)$ ，管中波的平均能量密度是  $w$ ，则通过截面  $S$  的平均能流是  $\frac{\omega \lambda}{2\pi} w S$

8. 一驻波方程为  $y = 0.5 \cos \frac{\pi x}{3} \cos 40\pi t$  ( $x, y$  以 cm;  $t$  以 s)，则形成驻波的两分波的振幅为  $0.25\text{cm}$ ；周期为  $1/20$  (s)；波速为  $120\text{cm/s}$ ；该驻波的两相邻波节之间距离为  $3\text{cm}$ 。

9. 一根长为  $L$ ，两端固定的弦，在弦上形成基频驻波。弦上各点振动相位相同，此时驻波的波长  $2L$

### (三) 计算题

1. 沿绳子传播的平面简谐波的波动方程为

$$y = 0.05 \cos(10\pi t - 4\pi x)$$

式中  $x, y$  以米计， $t$  以秒计。

求：

1) 波的波速、频率和波长；  
(2) 绳子上各质点振动时的最大速度和最大加速度；

(3) 求  $x=0.2\text{m}$  处质点在  $t=1\text{s}$  时的相位，它是原点在某一时刻的相位？这一相位所代表的运动状态在  $t=1.25\text{s}$  时刻达到哪一点？

解：

$$(1) \quad y = 0.05 \cos 10\pi(t - \frac{x}{2.5})$$

$$u = 2.5\text{m/s} \quad \omega = 10\pi$$

$$\nu = 5\text{Hz} \quad \lambda = 0.5\text{m}$$

$$(2) \quad v_{\max} = \omega A$$

$$\Rightarrow v_{\max} = 0.5\pi\text{m/s}$$

$$a_{\max} = \omega^2 A$$

$$\Rightarrow a_{\max} = 5\pi^2\text{m/s}^2$$

(3) 将  $x=0.2$  代入得  $y = 0.05 \cos(10\pi t - 0.8\pi)$   
 $t=1\text{s}, y = 0.05 \cos(10\pi - 0.8\pi)$   
相位为  $9.2\pi$

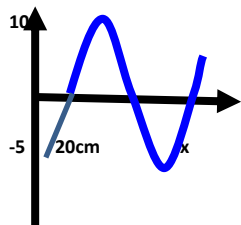
将  $x=0, 10\pi t = 9.2\pi$ ,  
 $t = 0.92\text{s}$

$$0.25 \times 2.5 + 0.2 = 0.825\text{m}$$

2. 沿  $x$  轴正方向传播的平面余弦波，已知  $t=1/3\text{s}$  是的波形图，其频率为  $0.5\text{Hz}$

(1) 写出原点  $O$  出质点的振动方程 (2) 写出盖博的波函数 (3) 写出  $c$  点处质元的振动方程

(4) 求  $cd$  点离原点的距离



(1) 设  $y = A \cos(\omega t + \phi)$

$A = 0.1$     $f = 0.5 \text{ Hz}$     $\omega = 2\pi / T$

$T = 1/f$  所以  $\omega = \pi$

由旋转矢量法  $\phi = 2/3\pi$

所以  $y = 0.1 \cos(\pi t + 2/3\pi)$

(2)  $y = 0.1 \cos[\pi(t - x/20) + 2/3\pi]$

(3)  $y = 0.1 \cos(\pi t + \phi)$   
 $\phi = 0.1 \cos(\pi t - \pi/2)$

(4) 不太会

3. 一平面简谐波沿  $ox$  轴正向传播，速度大小为  $u$ ，若  $x$  轴上  $p$  处 ( $x=L$ ) 质点的振动方程为

$y = A \cos(\omega t + \phi)$

试求 (1)  $o$  处质点的振动方程

(2) 该波的波动方程

(3) 与  $p$  处质点振动状态相同的那些质点的位置

解 (1)  $y = A \cos[\omega(t + L/u) + \phi]$

(2)  $y = A \cos[\omega(t - x/u) + \omega L/u + \phi]$

(3)  $\lambda = u \cdot T = u \cdot 2\pi / \omega$

$k \cdot 2\pi u / \omega + L \quad k = 0, \pm 1, \pm 2, \dots$

4. 一平面余弦波，沿直径为  $14 \text{ cm}$  的圆柱形管传播，波的强度为  $18.0 \times 10^{-3} \text{ J} \cdot \text{m}^{-2} \cdot \text{s}^{-1}$ ，频率为  $300 \text{ Hz}$ ，波速为  $300 \text{ m} \cdot \text{s}^{-1}$ ，求：(1) 波的平均能量密度和最大能量密度？

(2) 两个相邻同相位面之间有多少波的能量？

(1)  $I = \bar{w} u$

$$\bar{w} = \frac{I}{u} = \frac{18 \times 10^{-3} \text{ J} \cdot \text{m}^{-2} \cdot \text{s}^{-1}}{300 \text{ m} \cdot \text{s}^{-1}} = 6 \times 10^{-5} \text{ J} \cdot \text{m}^{-3}$$

$$w_m = 2\bar{w} = 1.2 \times 10^{-4} \text{ J} \cdot \text{m}^{-3}$$

(2) 相邻两个同相位面之间距离为一个波长

$$W = \bar{w} \Delta V$$

$$= \pi \left(\frac{D}{2}\right)^2 \lambda \bar{w} = 9.23 \times 10^{-7} \text{ J}$$

$$= I \cdot T \cdot S$$

5. 不太会

6. 放置在海底的超声波探测器发出一束频率为  $30000 \text{ Hz}$  的超声波，被迎面驶来的潜水艇反射回探测器来，测得反射波频率与原频率差为  $241 \text{ Hz}$ 。已知超声波在海水中的传播速度为  $1500 \text{ m} \cdot \text{s}^{-1}$ ，试求潜水艇航行速度  $u$ 。

解 (1) 潜水艇反射波的频率

率同于潜水艇接收的频率

$$\nu_{\text{反}} = \frac{u + u_B}{u} \nu_0$$

$$\nu_0 = 30000 \text{ Hz}$$

$$u = 1500 \text{ m/s}$$

探测器再接收到的频率

$$\nu = \frac{u}{u - u_B} \nu_{\text{反}} = \frac{u + u_B}{u - u_B} \nu_0$$

$$\Delta \nu = \nu - \nu_0 = \frac{2u_B}{u - u_B} \nu_0$$

$$\ominus \Delta \nu \ll \nu_0 \therefore u_B \ll u$$

$$\Rightarrow u_B = \frac{\Delta \nu}{2\nu_0 + \Delta \nu} u \approx \frac{\Delta \nu}{2\nu_0} u = 6.03 \text{ m/s}$$

### 第三章 静电场

#### 一、选择题

1. 在真空中的  $A$ 、 $B$  两平行金属板，相距为  $d$ ，板面积为  $S$  ( $S \rightarrow \infty$ )，各带电  $+q$  和  $-q$ ，两板间的作用力  $f$  大小为( )

C.  $q^2 / 2\epsilon_0 S$

2. 在静电场中，作一闭合曲面  $S$ ，若有

$$\oint_S \vec{D} \cdot d\vec{s} = 0$$

则  $S$  面内必定 ( )

D. 自由电荷的代数和为零

3. 点电荷  $Q$  包围闭合曲面  $S$  所包围，从无穷远引入另一点电荷  $q$  至曲面外一点，则引入前后

D.  $\int E dS$  不变，曲面上各点的场强变化

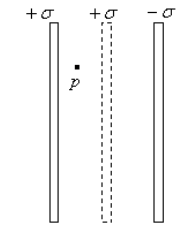
4. 高斯定理

$$\oint_V \vec{D} \cdot d\vec{s} = \int_V \rho dV$$

A. 适合于任何静电场；

5. 两无限大均匀带电的平行平面  $A$  和  $B$ ，电荷面密度分别为  $+\sigma$  和  $-\sigma$ ，若在两平面的中间插入另一电荷面密度为  $+\sigma$  的平行平面  $C$  后， $P$  点的场强的大小将是

B. 原来的  $1/2$



6. 不会

7. 半径为  $r$  的均匀带电球面

1. 带电量为  $q$ ；其外有一同心的半径为  $R$  的均匀带电球面

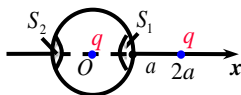
2. 带

电量为  $Q$ ，则此两球面之间的电势差  $U_1 - U_2$  为

$$A. \frac{q}{4\pi\epsilon_0} \left( \frac{1}{r} - \frac{1}{R} \right)$$

8. 有两个点电荷电量都是  $+q$ ，相距为  $2a$ 。今以左边的点电荷所在处为球心，以  $a$  为半径作一球形高斯面，在球面上取两块相等的小面积  $S_1$  和  $S_2$ ，其位置如图所示。设通过  $S_1$  和  $S_2$  的电场强度通量分别为  $\Phi_1$  和  $\Phi_2$ ，通过整个球面的电场强度通量为  $\Phi_s$ ，则

D.  $\Phi_1 < \Phi_2$ ,  $\Phi_s = q/\epsilon_0$



9. 一均匀带电球面，若球内电场强度处处为零，则球面

上的带电量  $\sigma dS$  的面元在球面内产生的电场强度是

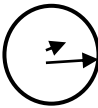
C. 一定不为零

10. 有一电荷  $q$ ，旁边有一金属导体  $A$ ，且  $A$  处于静电平衡，则 ( )

C. 导体内  $E_1 = 0$ ， $q$  在导体内产生场强

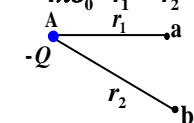
11. 真空中一半径为  $R$  的球面均匀带电  $Q$ ，在球心  $O$  处有一带电量为  $q$  的点电荷，如图所示。设无穷远处为电势零点，则在球内离球心  $O$  距离为  $r$  的  $P$  点处电势为 B

A.  $\frac{q}{4\pi\epsilon_0 r}$  B.  $\frac{q}{4\pi\epsilon_0} \left( \frac{1}{r} + \frac{Q}{R} \right)$



12. 在带电量为  $-Q$  的点电荷  $A$  的静电场中，将另一带电量为  $q$  的点电荷  $B$  从  $a$  点移到  $b$  点， $a$ 、 $b$  两点距离点电荷  $A$  的距离分别为  $r_1$  和  $r_2$ ，如图所示。则在电荷移动过程中电场力做的功为

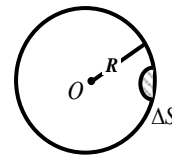
C.  $-\frac{qQ}{4\pi\epsilon_0} \left( \frac{1}{r_1} - \frac{1}{r_2} \right)$



#### 二、填空题

1. 真空中有一半径为  $R$  均匀带正电的细圆环，其电荷线密度为  $\lambda$ ，则电荷在圆心处产生的电场强度 的大小为 0。

2. 真空中一半径为  $R$  的均匀带电球面，总电量为  $Q$  ( $Q > 0$ )。今在球面上挖去非常小块的面元  $\Delta S$  (连同电荷)，且假设不影响原来的电荷分布，则挖去  $\Delta S$  后球心处电场强度的大小  $E = \frac{Q\Delta S}{4\pi\epsilon_0 R^2}$ ，其方向为 指向  $\Delta S$



3. 两块“无限大”的带电平行板，其电荷面密度分别为  $\sigma$  ( $\sigma > 0$ ) 及  $-2\sigma$ ，如图所示，试写出各区域的电场强度 I 区  $E$  的大小  $E = \sigma / 2\epsilon_0$ ，方向 x 轴正向。II 区  $E$  的大小  $E = 3\sigma / 2\epsilon_0$ ，方向 x 轴正向。III 区  $E$  的大小  $E = \sigma / 2\epsilon_0$ ，方向 x 轴负向。

x 轴负向

4. 半径为  $R_1$  和  $R_2$  的两个同轴金属圆筒，其间充满着相对介电常数为  $\epsilon_r$  的均匀介质，设两筒上单位长度带电量分别为  $+\lambda$  和  $-\lambda$ ，则介质中的电位移矢量的大小  $D = \lambda / 2\pi r$ ，电场强度大小  $E = \lambda / 2\pi\epsilon_0\epsilon_r r$

5. 在场强为  $E$  的均匀电场中， $A$ 、 $B$  两点间距离为  $d$ ， $A$ 、 $B$  连线方向与  $E$  方向一致，从  $A$  点经任意路径到  $B$  点的场强线积分

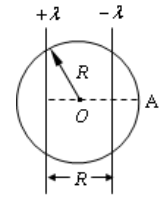
$$\int_{AB} E \cdot d\vec{l} = Ed$$

6 不会

7. 把一个均匀带点量  $+Q$  的球形肥皂泡由半径  $r_1$  吹胀到  $r_2$ ，则半径为  $R$  ( $r_1 < R < r_2$ ) 的高斯球面上任一点的场强大小  $E$  由  $Q / 4\pi\epsilon R^2$  变为 0。电势  $U$  由  $Q / 4\pi\epsilon R$  变为  $Q / 4\pi\epsilon r_2$

8. 有两根均匀带等量异号电荷的长直线，其电荷线密度分别为  $+\lambda$ 、 $-\lambda$ ，相距  $R$ ，

$O$  点为带电直线垂线的中点，则通过以  $O$  为圆心， $R$  为半径的高斯面的电场强度通量为 0，球面上  $A$  点的电场强度的大小为  $2\lambda / 3\pi\epsilon$ ，方向为 水平向左



9. 两根互相平行的长直导线，相距为  $a$ ，其上均匀带电，电荷线密度分别为  $\lambda_1$  和  $\lambda_2$ ，则导线单位长度所受电场力的大小为  $F_0 = \lambda_1\lambda_2 / 2\pi\epsilon_0 a$

10. 半径为  $R$  的金属球  $A$  带电量  $Q$  把一个原来不带电的半径为  $2R$  的薄金属球壳罩在  $A$  球外面，离球心  $O$  为  $1.5R$  处  $P$  点电场强度为  $Q / 4\pi\epsilon (1.5R)^2$ ，电势  $q / 4\pi\epsilon (1.5R)$

11. 有一内外半径分别为  $R$  及  $2R$  的金属球壳，在离其球心  $O$  为  $R/2$  处放一电量为  $q$  的点电荷，则球心  $O$  处的电势  $U_0 = \frac{3q}{8\pi\epsilon_0 R}$ 。在离球心  $O$  为  $3R$  处的电场强度大小  $E = \frac{q}{36\pi\epsilon_0 R^2}$ ，电势  $U = \frac{q}{12\pi\epsilon_0 R}$

(三) 计算题

1. 一半径为  $R$  的带电球体，

其电荷体密度分布为

$$\begin{cases} \rho = Ar & (r \leq R, \varepsilon) \\ \rho = 0 & (r > R, \varepsilon_0) \end{cases}$$

$A$  为一常数, 试求球体内外

的场强分布和电势分布

解:  $\oint_S \vec{D} \cdot d\vec{S} = \sum_{S_{\text{内}}} q_i$

$$D_{\text{内}} \cdot 4\pi r^2 = \int_0^r \rho 4\pi r^2 dr$$

$$= \pi A r^4$$

$$D_{\text{内}} = \frac{A r^2}{4}; \quad E_{\text{内}} = \frac{A r^2}{4\varepsilon}$$

$$D_{\text{外}} \cdot 4\pi r^2 = \int_0^R \rho 4\pi r^2 dr$$

$$= \pi A R^4$$

$$D_{\text{外}} = \frac{A R^4}{4r^2}; \quad E_{\text{外}} = \frac{A R^4}{4\varepsilon_0 r^2}$$

$$U_{\text{内}} = \int_r^R E_{\text{内}} dr + \int_R^\infty E_{\text{外}} dr$$

$$= \frac{A(R^3 - r^3)}{12\varepsilon} + \frac{A R^3}{4\varepsilon_0}$$

$$U_{\text{外}} = \int_r^\infty E_{\text{外}} dr = \frac{A R^4}{4\varepsilon_0 r}$$

2. 图中所示为一沿  $x$  轴放置

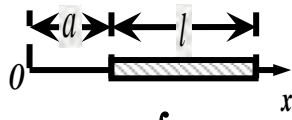
的长度为  $l$  的不均匀带电

细棒, 其电荷线密度为  $\lambda =$

$\lambda_0(x-a)$ ,  $\lambda_0$  为一常量. 取无

穷远处为电势零点, 求坐标

原点  $O$  处的电势。



解:  $U = \int_q dU$

$$= \int_a^{a+l} \frac{\lambda dx}{4\pi\varepsilon_0 x}$$

$$= \frac{\lambda_0 l}{4\pi\varepsilon_0} - \frac{\lambda_0 a}{4\pi\varepsilon_0} \ln \frac{a+l}{a}$$

3. 如图所示,  $AB = 2l$

$OCD$  是以  $B$  为中心,  $l$  为半

径的半圆,  $A$  点有正电荷  $+q$ ,

$B$  点有负电荷  $-q$ , 求:

(1) 把单位正电荷从  $O$  点

沿  $OCD$  移到  $D$  点, 电场力

对它作的功?

(2) 把单位正电荷从  $D$  点

沿  $AB$  的延长线移到无穷远

去, 电场力对它作的功?

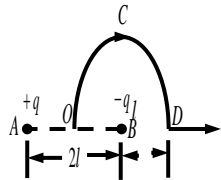
解: (1)

$$A = q(U_0 - U_D)$$

$$= -U_D = \frac{q}{6\pi\varepsilon_0 l}$$

$$A = q(U_D - U_\infty)$$

$$= -\frac{q}{6\pi\varepsilon_0 l}$$



4. 一厚度为  $d$  的无限大平

板, 平板内均匀带电, 电荷

体密度为  $\rho$ , 求板内、外场

强的分布。

$$\text{板外: } \oint_S \vec{D} \cdot d\vec{S} = 2 \int_{\Delta s} D ds = \sum_{S_{\text{内}}} q$$

$$2D\Delta s = \rho\Delta s \cdot d$$

$$D_{\text{外}} = \frac{\rho}{2}d, \quad E_{\text{外}} = \frac{\rho d}{2\varepsilon_0}$$

$$\text{板内: } \oint_S \vec{D} \cdot d\vec{S} = 2 \int_{\Delta s} D ds = \sum_{S_{\text{内}}} q_i$$

$$2D\Delta s = \rho\Delta s \cdot 2x$$

$$D_{\text{内}} = \rho x, \quad E_{\text{内}} = \frac{\rho x}{\varepsilon}$$

5. 图示一球形电容器, 在外

球壳的内半径  $b$  和内外导体

间的电压  $U$  维持恒定的条件

下, 内球半径  $a$  为多大时,

才能使内球面上的电场强

度最小? 这个最小的电场

强度和相应的电场能量各

是多少?

解:  $E_{\text{内面}} = \frac{q}{4\pi\varepsilon a^2}$

$$= \frac{CU}{4\pi\varepsilon a^2}$$

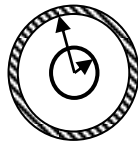
$$= \frac{4\pi\varepsilon abU}{4\pi\varepsilon a^2(b-a)} = \frac{bU}{(b-a)a}$$

$$\frac{\partial E}{\partial a} = 0 \Rightarrow a = b/2$$

$$\Rightarrow E = E_{\text{min}} = \frac{4U}{b}$$

$$W_e = \frac{1}{2} CU^2$$

$$= \frac{1}{2} \frac{4\pi\varepsilon ab}{b-a} U^2 = 2\pi\varepsilon b U^2$$



6. 一无限大均匀带电薄平板,

电荷面密度为  $\sigma > 0$ , 在平板

中部有一半半径为  $r$  的小圆孔。

求圆孔中心轴线上与平板

相距为  $x$  的一点  $P$  的电场强

度

$\sigma / (2\varepsilon) - \sigma / (2\varepsilon) [1 - x / \sqrt{r^2 + x^2}]$

号下 ( $r$  方  $+x$  方)]

7. 如图所示, 金属球  $A$  和金

属球壳  $B$  同心放置, 它们原

先都不带电. 设球  $A$  的半径

为  $R_0$ , 球壳  $B$  的内、外半

径分别为  $R_1$  和  $R_2$ . 求在下

列情况下,  $A$ 、 $B$  的电势差

(1) 使  $B$  带电  $+q$ ; (2) 使  $A$  带电

$+q$ ;

(3) 使  $A$  带电  $+q$ , 使  $B$  带电  $-q$ ;

(4) 使  $A$  带电  $-q$ , 将  $B$  外表面

接地。

解: (1) 电荷分布在  $B$  球的外

表面, 有

$$E_{\text{内}} = 0 \Rightarrow U_{AB} = 0$$

(2)  $A$  带  $+q$ ,  $B$  球内表面感应

$-q$ , 外表面感应  $+q$ , 有

$$E_{\text{内}} = \frac{q}{4\pi\varepsilon r^2}$$

$$\Rightarrow U_{AB} = \int_A^B \vec{E} \cdot d\vec{l} = \frac{q}{4\pi\varepsilon} \left( \frac{1}{R_0} - \frac{1}{R_1} \right)$$

(3)  $A$  带  $+q$ ,  $B$  带  $-q$ , 分布在

$B$  球的内表面上, 有

$$E_{\text{内}} = \frac{q}{4\pi\varepsilon r^2}$$

$$\Rightarrow U_{AB} = \int_A^B \vec{E} \cdot d\vec{l} = \frac{q}{4\pi\varepsilon} \left( \frac{1}{R_0} - \frac{1}{R_1} \right)$$

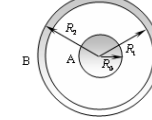
(4)  $A$  带  $-q$ ,  $B$  球的内表面感

应  $+q$ , 外表面感应的  $-q$  与地

中和,  $U_B = 0$ , 则有

$$E_{\text{内}} = \frac{q}{4\pi\varepsilon r^2}$$

$$\Rightarrow U_{AB} = \int_A^B \vec{E} \cdot d\vec{l} = \frac{q}{4\pi\varepsilon} \left( \frac{1}{R_0} - \frac{1}{R_1} \right)$$



8. 一球形电容器, 内球壳半

径为  $R_1$ , 外球壳半径

为  $R_2$ , 两球壳间充满了相对

介电常数为  $\varepsilon_r$  的各向

同性均匀电介质, 设两球壳

间电势差为  $U_{12}$ , 求:

(1) 电容器的电容;

(2) 电容器储存的能量。

$$E_{\text{间}} = \frac{q}{4\pi\varepsilon r^2}$$

$$U_{12} = \int_{R_1}^{R_2} E dr$$

$$= \frac{q}{4\pi\varepsilon} \left( \frac{1}{R_1} - \frac{1}{R_2} \right)$$

$$C = \frac{q}{U_{12}} = \frac{4\pi\varepsilon_r \varepsilon_0 R_1 R_2}{R_2 - R_1}$$

$$W_e = \frac{1}{2} C U_{12}^2$$

$$= \frac{2\pi\varepsilon_r \varepsilon_0 R_1 R_2 U_{12}^2}{R_2 - R_1}$$

9. 一电容为  $C$  的空气平行

板电容器, 接端电压为  $U$  的

电源充电后随即断开, 试求

把两个极板间距离增大至  $n$

倍时外力所作的功。

充电后断开电源, 则保持电

量不变。

$$E = \frac{\sigma}{\varepsilon}, \quad \Delta U = Ed$$

$$C = \frac{\varepsilon S}{d}, \quad C' = \frac{\varepsilon S}{nd}$$

$$W_l = \frac{Q^2}{2C} - \frac{Q^2}{2C'} = \frac{1}{2} (n-1) C U^2$$



#### 第四章 稳恒磁场

##### 一、选择题

1. 安培环路定理中,说明( )

A. H 的环流仅由环路 L 所包围的传导电流决定

C. H 应由环路与环路外的全部传导电流决定

2. 下列说法正确的是( )

C. 方程式  $B = \mu_0 n I$  对横截面为正方形或其他形状的无限长螺线管内的磁场都成立

3. 半径为  $a$  的长直导线, 通有恒定电流  $I_0$ , 设有一半径为  $2a$  圆与导线同心圆的平面与导体正交, 问通过此圆的磁通量  $\Phi_m$  是多少? (0)

4. 有两束阴极射线向同一方向发射, 关于它们相互作用有下面几种说法, 试指出哪一种说法正确

B. 只有库仑力和洛伦兹力

5. 载流为  $I$ 、磁矩为  $P_m$  的线圈, 置于磁感应强度为  $B$  的均匀磁场中。若  $P_m$  与  $B$  方向相同, 则通过线圈的磁通量  $\Phi$  与线圈所受的磁力矩  $M$  的大小为

$$\Phi = \frac{BP_m}{I}, M = 0$$

6. 在磁感应强度为  $B$  的均匀磁场中作一半径为  $r$  的半球面  $S$ ,  $S$  边线所在平面的法线方向单位矢量  $n$  与  $B$  的夹角为  $\alpha$ , 则通过半球面  $S$  的磁通量为

$$-\pi r^2 B \cos \alpha$$

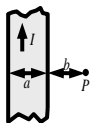
7. 如图所示, 两根直导线  $ab$  和  $cd$  沿半径方向被接到一个截面处处相等的铁环上, 稳恒电流  $I$  从  $a$  端流入而从  $d$  端流出, 则磁感应强度  $B$  等于

$$\frac{2}{3} \mu_0 I$$

8. 两个共面同心的圆形电流  $I_1$  和  $I_2$ , 其半径分别为  $R_1$  和  $R_2$ , 当电流在圆心处产生总的磁感强度  $B$  为零时, 则二者电流强度之比  $I_1: I_2$  为 ( $R_1: R_2$ )

9. 有一无限长通有电流, 宽度为  $a$ , 厚度不计的扁平铜片, 电流  $I$  在铜片上均匀分布, 在铜片外与铜片共面, 离铜片右边缘  $b$  处的  $P$  点的磁感应强度 的大小为

$$\frac{\mu_0 I}{2\pi a} \ln \frac{a+b}{b}$$



10. 如图所示, 有一半径为  $R$  的圆线圈通有电流  $I_1$ , 在圆线圈的轴线上有一长直导线通有电流  $I_2$ , 则圆形电流受到的作用力 (无作用力)



11. 电流元  $Idl$  是圆电流线圈自身的一部分, 则

B. 电流元受磁力不为 0, 方向沿半径向外

##### 二、填空题

1. 一质点带有电荷  $q$ , 以速度  $v$  在半径为  $R$  的圆周上作匀速圆周运动, 该带电质点在轨道中心所产生的磁感应强度  $B$  为

$$\mu_0 q v / 4\pi R^2$$

该带电质点轨道运动的磁矩

$$P_m = IS = vqR/2$$

。

2. 两根长直导线通有电流  $I$ , 图示有三种环路;

在每种情况下,

$\oint \vec{H} \cdot d\vec{l}$  等于:



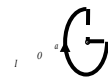
1 (对于环路 a);

0 (对于环路 b);

2I (对于环路 c)。

3. 如图所示, 在真空中有一半径为  $a$  的  $3/4$  圆弧形的导线, 其中通以稳恒电流  $I$ , 则  $O$  点的磁感应强度大小为

$$3\mu_0 I / 8R$$



4. 有一磁矩为  $P_m$  的载流线圈, 置于磁感应强度为  $B$  的均匀磁场中,  $P_m$  与  $B$  的夹角为  $\varphi$ , 则

(1) 当  $\varphi = 0$  时, 线圈处于稳定平衡状态;

(2) 当  $\varphi = \pi/2$  时, 线圈所受的力矩最大。

5. 半径为  $R$  的细圆环均匀带电, 电荷线密度为  $\lambda$ 。若圆环以角速度  $\omega$  绕通过环心且垂直于环面的转轴作匀速转动, 则环心处的磁感应强度 的大小为

$$\mu_0 \omega \lambda / 2$$

6. 一均匀带电圆环, 带电量为  $+q$ , 其半径为  $R$ , 置于均匀磁场  $B$  中, 的方向与圆环所在平面成  $60^\circ$  角。现使圆环绕通过圆心垂直环面的轴转动, 角速度为  $\omega$ , 则圆环磁矩为  $\omega q R^2 / 2$ , 其所受到的磁力矩为  $\omega q R^2 B / 4$ 。

7. 用均匀细金属丝构成一半径为  $R$  的圆环  $C$ , 电流  $I$  由导线 1 流入圆环  $A$  点, 而后由圆环  $B$  流出, 进入导线 2, 设导线 1 和导线 2 与圆环共面, 则环心  $O$  处的磁感应强度大小  $\frac{\mu_0 I}{4\pi R}$ , 方向向里。



8. 没做三、计算题

1. 如图所示, 一半径为  $R$  的均匀带电无限长直圆筒, 电荷面密度为  $\sigma$ , 该筒以角速度  $\omega$  绕其轴线匀速旋转, 试求圆筒内部的磁感应强度。

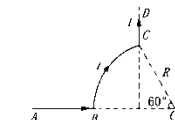
解: 等效于长直螺线管。

$$\begin{aligned} \oint_L \vec{H} \cdot d\vec{l} &= \sum I_i \\ \vec{H} \cdot \vec{L} &= \Delta I = n \Delta q \\ &= \frac{\omega}{2\pi} \sigma \cdot 2\pi R L \\ H &= \omega \sigma R, \quad B = \mu_0 \omega \sigma R \end{aligned}$$

2. 一根很长的铜导线载有电流 10A, 设电流均匀分布。在导线内部作一平面  $S$ , 如图所示。试计算通过  $S$  平面的磁通量 (沿导线长度方向取长为 1m 的一段作计算)。铜的磁导率  $\mu = \mu_0$ 。

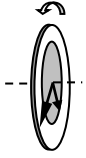
$$\begin{aligned} \oint_L \vec{H} \cdot d\vec{l} &= \sum I_i \\ B_{\text{内}} &= \frac{\mu_0 I r}{2\pi R^2} \\ \Phi_m &= \int_0^R B_{\text{内}} L dr \\ &= \frac{\mu_0 I L}{4\pi} = \frac{5\mu_0}{2\pi} \\ B_{\text{外}} &= \frac{\mu_0 I}{2\pi r} \\ \Phi_m &= \int_R^{2R} B_{\text{外}} L dr \\ &= \frac{\mu_0 I L}{2\pi} \ln 2 \end{aligned}$$

3. 如图所示,  $AB$ 、 $CD$  为长直导线,  $BC$  弧为圆心在  $O$  点的一段圆弧导线, 其半径为  $R$ 。若通以电流  $I$ , 求  $O$  点的磁感应强度。



$$\begin{aligned} \vec{B}_O &= \vec{B}_{BC} + \vec{B}_{CD} \\ B_O &= B_{BC} + B_{CD} \\ &= \frac{\mu_0 I}{2R} \times \frac{1}{6} + \frac{\mu_0 I}{4\pi R \cos 60^\circ} (1 - \sin 60^\circ) \\ &= \frac{\mu_0 I}{12R} + \frac{\mu_0 I}{2\pi R} (1 - \frac{\sqrt{3}}{2}) \end{aligned}$$

4. 一半径为  $R$  的薄圆盘, 其中半径为  $r$  的阴影部分均匀带正电, 面电荷密度为  $+\sigma$ , 其余部分均匀带负电, 面电荷密度为  $-\sigma$  (见图)。设此盘以角速度为  $\omega$  绕其轴线匀速转动时, 圆盘中心  $O$  处的磁感应强度为零, 问  $R$  和  $r$  有什么关系?



$$dq = \sigma 2\pi r dr$$

$$dI = ndq = \frac{\omega}{2\pi} \sigma 2\pi r dr$$

$$B_1 = \int dB = \int_0^R \frac{\mu dI}{2x} = \int_0^R \frac{\mu \omega \sigma}{2} dr = \frac{\mu \omega \sigma}{2} R$$

同理  $B_2 = \int_r^R \frac{\mu \omega \sigma}{2} dr$

$$= \frac{\mu \omega \sigma}{2} (R - r)$$

$$QB_1 = B_2 \therefore r = \frac{1}{2}R$$

5. 一圆线圈的半径为  $R$ ，载有电流  $I$ ，置于均匀外磁场  $B$  中，线圈的法线方向与  $B$  的方向相同，在不考虑载流线圈本身所激发的磁场的情况下，求线圈导线上的张力。

解：因为是均匀外磁场，

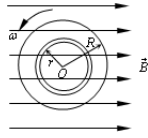
$$\therefore F_{abc} = F_{ac} = BI \cdot 2R = F_y$$

线圈平衡时  $a$ 、 $b$  端受另外半圆的拉力满足：

$$F_y - 2T = 0 \Rightarrow T = \frac{F_y}{2} = BIR$$

6. 如图所示，一半径为  $R$  的薄圆盘，表面上的电荷面密度为  $\sigma$ ，放入均匀磁场中，的方向与盘面平行。若圆盘以角速度  $\omega$  绕通过盘心、垂直盘面的轴转动。

求作用在圆盘上的磁力矩。



解：

任取一半径为  $r$ ，宽为  $dr$  的

细圆环，

带电：  $dq = \sigma dS = \sigma 2\pi r dr$

产生电流：  $dI = \frac{\omega}{2\pi} dq$

圆电流的磁矩：

$$dp_m = SdI = \pi \sigma \omega r^3 dr$$

细环受的力矩：

$$dM = |dp_m \times B| = dp_m B$$

圆盘受的磁力矩：

$$M = \int dM = \int_0^R dp_m B = \int_0^R \pi \sigma \omega B r^3 dr$$

$$= \frac{\pi \sigma \omega B R^4}{4}$$

力矩方向为沿轴向上

7. 载有电流为  $I_1$  的长直导线旁，有一载有电流  $I_2$

的等腰直角形导线回路  $ABC$ ，

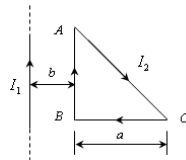
如图 2.7.7 所示， $AB$  边与直

导线平行，相距为  $b$ ， $BC$  边

与直导线垂直，长度为  $a$ ，

试求三角形载流回路

所受导线  $I_1$  磁场的作用。



解：

$$F_{AB} = BI_2 a = \frac{\mu_0 I_1 I_2 a}{2\pi b}$$

$$F_{BC} = \int_b^{b+a} \frac{\mu_0 I_1 I_2}{2\pi x} dx = \frac{\mu_0 I_1 I_2}{2\pi} \ln \frac{b+a}{b}$$

$$F_{AC} = \int_b^{b+a} \frac{\mu_0 I_1 I_2}{2\pi x} dl = \int_b^{b+a} \frac{\mu_0 I_1 I_2}{2\pi \cos 45^\circ} \frac{dx}{x} = \frac{\mu_0 I_1 I_2}{2\pi \cos 45^\circ} \ln \frac{b+a}{b}$$

$$F_y = F_{AC} \sin 45^\circ - F_{BC} = 0$$

$$F_x = F_{AC} \cos 45^\circ - F_{AB} = \frac{\mu_0 I_1 I_2}{2\pi} \ln \frac{b+a}{b} - \frac{\mu_0 I_1 I_2 a}{2\pi b}$$

8. 带电刚性细杆  $AB$ ，电荷线

密度为  $\lambda$ ，绕垂直于

直线的轴  $O$  以角速度  $\omega$  匀

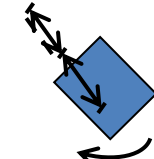
速转动 ( $O$  点在细杆  $AB$  延

长线上)，求：

(1)  $O$  点的磁感应强度  $B$ ；

(2) 磁矩  $P$ ；

(3) 若  $a \gg b$ ，求  $B$  及  $P$ 。



$$(1) dq = \lambda dr$$

$$di = dq$$

$$dB = \mu di / 2r = \mu \omega \lambda dr / 4\pi r$$

$$B = \mu \omega \lambda / 4\pi \ln[(a+b)/a]$$

$$(2) dp_m = di \pi r^2 = 1/2 \omega \lambda r^2$$

$$dr$$

$$P_m = 1/6 \omega \lambda [(a+b)^3 - a^3]$$

$$(3) B=0 \quad p=0$$



## 第五章 电磁学理论基础

### 一、选择题

1. 感生电动势产生的本质原因是 ( ) C. 感生电场 (涡旋电场) 对导体中自由电子的作用

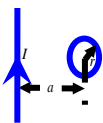
2. 尺寸相同的铁环与铜环所包围的面积中, 通以相同变化的磁通量, 环中 ( )

D. 感应电动势相同, 感应电流不同

3. 两根无限长平行直导线载有大小相等方向相反的电流  $I$ ,  $I$  以  $dI/dt$  的变化率增长, 一矩形线圈位于导线平面内 (如图), 则 ( )

B. 线圈中感应电流为顺时针方向;

4. 在一通有电流  $I$  的无限长直导线所在平面内, 有一半经为  $r$ 、电阻为  $R$  的导线环, 环中心距直导线为  $a$ , 如图所示, 且  $a \gg r$ 。当直导线的电流被切断后, 沿着导线环流过的电量约为 ( )

$$C. \frac{\mu_0 I r^2}{2aR}$$


5. 对位移电流, 有下述四种说法, 请指出哪一种说法是正确的 ( )

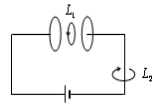
A. 位移电流是由变化电场产生的

6. 感应电场中电磁感应定律可写成  $\oint_C E_K \cdot dr = -\frac{d\Phi_m}{dt}$ , 式中  $E_K$  为感应电场的电场强度, 此式表明 ( )

A 闭合曲线  $C$  上  $E_K$  处处相等  
D 感应电场中不能像静电场那样引入电势的概念

7. 如图所示, 平板电容器 (忽略边缘效应) 充电时, 沿环路  $L_1$ 、 $L_2$  磁场强度  $H$  的环流中必有 (C)

$$\oint_{L_1} \vec{H} \cdot d\vec{l} < \oint_{L_2} \vec{H} \cdot d\vec{l}$$



8. 用线圈的自感系数  $L$  来表示载流线圈的磁场能量公式  $W_m = \frac{1}{2} LI^2$

D. 适用于自感系数为  $L$  任意线圈

9. 某广播电台的天线可视为偶极辐射, 原发射频率为  $\nu$ , 若将发射频率提高到  $4\nu$ , 其辐射强度为原来的 (256) 倍。

10. 在某广播电台附近电场强度的最大值为  $E_m$ , 则该处磁感应强度最大值为 ( )

$$E_m / C$$

11. 一功率为  $P$  的无线电台,  $A$  点距电台为  $r_A$ ,  $B$  点距电台为  $r_B$ , 且  $r_B = 2r_A$ , 若电台

沿各方向作等同辐射, 则场强幅值  $E_A:E_B$  为 ( 2:1 )

12. 设在真空中沿着  $z$  轴负方向传播的平面电磁波, 其磁场强度的波表达式为  $H_x = H_0 \cos \omega(t + z/c)$ , 则电场强度的表达式为 ( )

$$E_y = -\sqrt{\mu_0/\epsilon_0} H_0 \cos \omega(t + z/c)$$

13. 在均匀媒质中, 沿  $r$  方向传播的平面电磁波的方程为

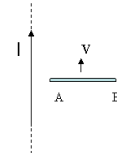
$$E = E_0 \cos \omega(t - r/c), H = H_0 \cos \omega(t - r/c)$$

则其振幅  $E_0$ 、 $H_0$  与平均能流密度  $S$  的关系式为 ( )

$$C. \sqrt{\epsilon} E_0 = \sqrt{\mu} H_0; \bar{S} = \frac{1}{2} E_0 H_0$$

14. 关于电磁波和机械波的性质比较, 下列说法不正确的是 ( )

A. 都可以在真空中传播;



2. 动生电动势的定义式为  $\epsilon = \int_a^b (\vec{v} \times \vec{B}) \cdot d\vec{l}$ , 与动生

电动势相联系的非静电力为 洛伦兹力, 其非静电性场强为  $\vec{v} \times \vec{B}$

3. 位移电流  $I_d = \frac{d\Phi_e}{dt}$ , 它与传导电流及运流电流均能产生 磁 效应, 但它不能产生热效应。

4. 涡旋电场是由变化的磁场所激发的, 其环流的数学表达式为  $\oint \vec{E} \cdot d\vec{l} = -\frac{d\Phi_m}{dt}$

\_\_\_\_\_, 涡旋电场强度与 变化的磁场 成 左 旋关系。

5. 取自感系数的定义式为  $L = \frac{\Phi}{I}$ , 当线圈的几何形状不变, 周围无铁磁性物质时, 若线圈中的电流强度变小, 则线圈的自感系数  $L$  不变。

6. 已知在一个面积为  $S$  的平面闭合线圈的范围内, 有一随时间变化的均匀磁场  $B(t)$ , 则此闭合线圈内的感生电动势为  $-\frac{dB}{dt} \cdot S$ 。

7. 用导线制成一半径为  $r$  = 10cm 的闭合线圈, 其电阻  $R$  = 10 欧, 均匀磁场  $B$  垂直于线圈平面, 欲使电路中有一稳恒的感应电流  $i$  = 0.01A,  $B$  的变化率应为  $dB/dt = \underline{10/\pi}$

8. 在没有自由电荷和传导电流的变化电磁场中

$$\oint \vec{H} \cdot d\vec{l} = -\int_s \frac{\partial \vec{B}}{\partial t} \cdot d\vec{S}$$

$$\oint \vec{E} \cdot d\vec{l} = -\int_s \frac{\partial \vec{B}}{\partial t} \cdot d\vec{S}$$

9. 在自感系数为  $L$  = 0.05mH 的线圈中, 流过的电流  $I$  = 0.8A, 在切断电路后经  $t$  = 0.8μs 的时间, 电流强度近似为零, 回路中的平均自感电动势的大小  $\epsilon_L = \underline{50V}$ 。

10. 一列平面电磁波, 在真空中传播, 则它是 横 波, 波速  $c = \underline{1/\sqrt{\mu_0 \epsilon_0}}$  空间在一点的电场强度  $E$  和磁场强度  $H$  的方向 垂直; 相位 相同

11. 一广播电台的平均辐射功率 20kw, 假定辐射的能量

均匀分布在以电台为球心的半球面上, 那么距离电台为 10km 处的电磁波的平均辐射强度为  $3.2 \times 10^{-5}$ 。

12. 一列电磁波的波长为 0.03m, 电场强度幅值  $30V \cdot m^{-1}$ , 则该电磁波的频率为  $10^{10}$  Hz, 其磁感应强度  $B$  的幅值为  $10^{-7}$  T, 平均辐射强度为  $1.19 W \cdot m^{-2}$ 。

13. 一列电磁波在真空中沿  $z$  轴传播, 设某点的电场强度为  $E_z = 900 \cos(2\pi\nu t + \pi/6) V \cdot m^{-1}$

则该点的磁场强度的表达式为  $H_y = 900 \sqrt{\epsilon_0/\mu_0} \cos(2\pi\nu t + \frac{\pi}{6}) A \cdot m^{-1}$

14. 有一氦氖激光器发出的功率为 10mW 的激光, 设发出的激光为圆柱形光束, 圆柱横截面的直径为 2mm, 则激光束的坡印亭矢量的平均值为  $3.18 \times 10^3$

15. 在电磁波传播的空间中, 任一点的  $E$  和  $H$  的方向及传播方向之间的关系是  $\vec{u} \rightarrow \vec{E} \times \vec{H}$

16. 坡印廷矢量  $S$  的物理意义是 (单位时间通过垂直传播方向单位面积的辐射能)

17. 一电磁波在空气中通过某点时, 该点某一时刻的电场强度  $E=100\text{V/m}$ , 则同时刻的磁场强度  $H=$  0.265(SI) \_\_\_\_\_; 电磁能密度  $w=$   $8.85 \times 10^{-9}(\text{SI})$ , 能流密度  $S=$  26.5(SI)

18. 在真空中传播的平面电磁波, 在空间某点的磁场强度为  $H = 1.20 \cos(2\pi\nu t + \frac{\pi}{3})(\text{SI})$ ,

则该点的电

场强度为

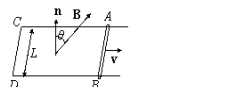
$E = \sqrt{\frac{\mu_0}{\epsilon_0}} H_0 \cos(2\pi\nu t + \frac{\pi}{3})(\text{SI})$   
\_\_\_\_\_ (真空的

介电系数  $\epsilon_0=8.85 \times 10^{-12} \text{F} \cdot \text{m}^{-1}$ ,

真空中的磁导率  $\mu_0=4\pi \times 10^{-7} \text{H/m}$ ).

### 三、计算题

1. 如图所示, 匀强磁场  $B$  与矩形导线回路的法线  $n$  成  $\vartheta = 60^\circ$  角,  $B = kt$  ( $k$  为大于零的常数). 长为  $L$  的导体杆  $AB$  以匀速  $u$  向右平动, 求回路中  $t$  时刻的感应电动势的大小和方向 (设  $t=0$  时,  $x=0$ ).

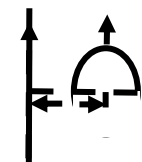


$$\Phi_m = \vec{B} \cdot \vec{S} = SB \cos 60^\circ = \frac{1}{2} kt \cdot Lvt = \frac{1}{2} kLvt^2$$

$$\epsilon_i = \left| \frac{d\Phi_m}{dt} \right| = kLvt$$

方向: 顺时针

2. 一长直导线中通有电流  $I$ , 在其旁有一半径为  $R$  的金属圆环  $ab$ , 二者共面, 且直径  $ab$  与直电流垂直, 环心与直电流相距  $L$ , 当半圆环以速度  $v$  平行直导线运动时, 试求 (1) 半圆环两端电势差  $U_a - U_b$ ; (2) 那端电势高?



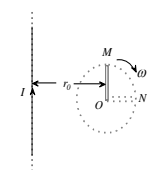
$$\epsilon_{ab}^+ + \epsilon_{ba}^- = 0$$

$$\epsilon_{ab}^+ = \epsilon_{ab}^- = \int_{L-R}^{L+R} Bv dx$$

$$\epsilon_{ab}^+ = \frac{\mu_0 I v}{2\pi} \ln \frac{L+R}{L-R}$$

$a$  端高。

3. 一无限长直导线上通过稳恒电流  $I$ , 电流方向向上, 导线旁有一长度为  $L$  的金属棒, 绕其一端  $O$  在一平面内顺时针匀速转动, 转动角速度为  $\omega$ ,  $O$  点至导线的垂直距离为  $r_0$ , 设长直导线在金属棒旋转的平面内, 试求: (1) 当金属棒转至与长直导线平行、且  $O$  端在下 (即图中  $OM$  位置) 时, 棒内感应电动势的大小和方向;



1)

$$d\epsilon = (\vec{v} \times \vec{B}) \cdot d\vec{l}$$

$$\epsilon = \int_L (\vec{v} \times \vec{B}) \cdot d\vec{l} = \int_0^L \omega l B dl$$

$$= \frac{1}{2} B \omega L^2 = \frac{1}{2} \frac{\mu_0 I}{2\pi r_0} \omega L^2$$

方向:  $O$  到  $M$

试求: (2) 当金属棒转至与长直导线垂直、且  $O$  端靠近导线 (即图中  $ON$  位置) 时, 棒内的感应电动势的大小和方向。

$$2) \epsilon = \int_L (\vec{v} \times \vec{B}) \cdot d\vec{l} = \int_0^L v B dl$$

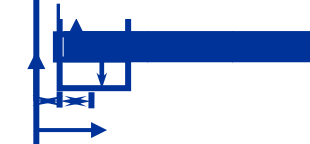
$$= \int_{r_0}^{r_0+L} \omega (x - r_0) \frac{\mu_0 I}{2\pi x} dx$$

$$= \frac{\mu_0 I \omega}{2\pi} [L - r_0 \ln \frac{r_0 + L}{r_0}]$$

方向:  $O$  到  $N$

4. 如图所示, 真空中一长直导线通有电流  $I = I(t)$ , 有一带滑动边的矩形导线框与长直导线平行共面, 二者相距  $a$ , 矩形线框的滑动边与长直导线垂直, 它的长度为  $b$ , 并且以匀速  $v$  (方向平行长直导线) 滑动, 若忽略线框中的自感电动势, 并设开始时滑动边与对边重合。求:

(1) 任意时刻矩形线框内的动生电动势;  
 (2) 任意时刻矩形线框内的感应电动势。



$$(1) \epsilon_{\text{动}} = \int_L (\vec{v} \times \vec{B}) \cdot d\vec{l}$$

$$= \int_a^{a+b} v B dx$$

$$= \int_a^{a+b} \frac{\mu_0 I}{2\pi x} v dx$$

$$= \frac{\mu_0 I v}{2\pi} \ln \frac{a+b}{a}$$

(2)

$$\Phi_m = \int_S \vec{B} \cdot d\vec{S} = \int_a^{a+b} B l \cdot dx$$

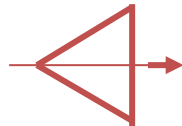
$$= \int_a^{a+b} \frac{\mu_0 I}{2\pi x} v t dx$$

$$= \frac{\mu_0 I}{2\pi} v t \ln \frac{a+b}{a}$$

$$\epsilon_i = \frac{d\Phi_m}{dt}$$

$$= \frac{\mu_0}{2\pi} \cdot \ln \frac{a+b}{a} [v t \frac{dI}{dt} + I v]$$

5. 如图, 在等边三角形平面回路  $ADCA$  中存在磁感应强度为  $B$  的均匀磁场, 其方向垂直于回路平面, 回路上  $CD$  段为滑动导线, 它以匀速  $v$  远离  $A$  端运动, 并始终保持回路是等边三角形, 设滑动导线  $CD$  到  $A$  端的垂直距离为  $x$ , 且时间  $t=0$  时,  $x=0$ , 试求, 在下述两种不同的磁场情况下, 回路中的感应电动势  $\epsilon$  和时间  $t$  的关系。



$$1) B = B_0 = \text{常矢量}$$

$$\Phi_m(t) = B \cdot S$$

$$= B_0 \cdot x \cdot x \cdot \tan \theta = B_0 \tan \theta \cdot v^2 t^2$$

$$\epsilon_i = - \frac{d\Phi_m}{dt} = - \frac{2\sqrt{3}}{3} B_0 v^2 t$$

2)  $B = B_0 t$

$$\Phi_m(t) = B \cdot S$$

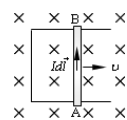
$$= B_0 \cdot x \cdot x \cdot \tan \theta$$

$$= \frac{\sqrt{3}}{3} B_0 v^2 t^3$$

$$\epsilon_i = - \frac{d\Phi_m}{dt}$$

$$= - \sqrt{3} B_0 v^2 t^2$$

6. 如图所示, 在磁感应强度  $B=0.5\text{T}$  的匀强磁场中, 有一导轨, 导轨平面垂直磁场, 长为  $0.5\text{m}$  导线  $AB$  在导轨上无摩擦的以速度  $v=4\text{m/s}$  向右运动, 在运动过程中, 回路总电阻  $R=0.2\Omega$  不变。求 (1) 导线  $AB$  运动时产生的动生电动势; (2) 电阻  $R$  上消耗的功率; (3) 导线  $AB$  受到的磁场力。



$$(1) \epsilon_i = \int d\epsilon_i = Blv = 1\text{V}$$

$$(2) P = \frac{\epsilon_i^2}{R} = 5\text{W}$$

$$(3) dF = |Id\vec{l} \times \vec{B}| = IBdl$$

$$F = \int dF_i = \int_0^L IBdl = \frac{\epsilon_i BL}{R} = 1.25\text{N}$$

7. 为了在一个  $1\mu\text{F}$  的电容器内产生  $1\text{A}$  的瞬时位移电流, 加在电容器上的电压变化率应该是多大?

$$I_d = S \cdot \frac{dD}{dt} = \epsilon S \frac{dE}{dt}$$

$$QEd = U \rightarrow d \frac{dE}{dt} = \frac{dU}{dt}$$

$$\therefore I_d = \epsilon S \frac{dE}{dt} = \frac{\epsilon S}{d} \cdot \frac{dU}{dt} = C \cdot \frac{dU}{dt}$$

$$\Rightarrow \frac{dU}{dt} = \frac{I_d}{C} = 10^6 \text{V} \cdot \text{s}^{-1}$$

8. 已知在某一各向同性介质中传播的线偏振光, 其电场分量为

$$E_z = E_0 \cos \pi \times 10^{15} (t + x/0.8c)(\text{SI})$$

式中  $E_0=0.08\text{V/m}$ ,  $c$  为真空光速。试求 (1) 介质的折射率;

(2) 光波的频率; (3) 磁场分量的幅值; (4) 平均辐射强度。

解: (1)  $n = c/u = 1.25$

$$(2) 2\pi\nu = \pi \times 10^{15} \rightarrow \nu = 5 \times 10^{14} \text{Hz}$$

$$(3) \sqrt{\epsilon} E_0 = \sqrt{\mu} H_0 \rightarrow E_0 = u B_0 \rightarrow B_0$$

$$(4) \vec{S} = \frac{1}{2} E_0 H_0$$

已知  $\mu$ ,  $\vec{S}$  可求

9. 没做

## 第十五章 光的干涉

### (一) 选择题

1. 当光从光疏媒质射向光密媒质时 ( )

A 反射光有半波损失

2. 若在一折射率为  $n_1$  的光学表面镀一层折射率  $n_2 (n_2 < n_1)$  的增透膜, 为使波长为  $\lambda$  的入射光透射最多, 其厚度应为 ( )

$$D. e = (2k+1) \frac{\lambda}{4n_2}$$

3. 双缝干涉实验中, 入射光波长为  $\lambda$ , 用玻璃纸遮住其中一缝, 若玻璃纸中光程比相同厚度的空气大  $2.5\lambda$ , 则屏上原 0 级明纹处 ( )

B. 变为暗条纹

4. 两块平玻璃构成空气劈尖, 左边为棱边, 用单色平行光垂直入射, 若上面的平玻璃以棱边为轴, 逆时针作微转, 则干涉条纹 ( )

A 间隔变小, 并向棱边方向平移

5. 用劈尖干涉检测工件的表面, 当波长为  $\lambda$  的单色光垂直入射时, 观察到干涉条纹如图。图中每一条纹弯曲部分的顶点恰与左边相邻的直线部分的连线相切。由图中可见工件表面 ( )

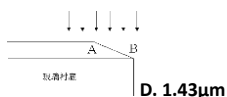


B. 有一凹陷的槽, 深入  $\lambda/2$

6. 在双缝干涉实验中, 为使屏上的干涉条纹间距变大。可以采取的办法是 ( ) B. 使两缝的间距变小

7. 在双缝装置中, 若两缝分别被厚度相等, 折射率为  $n_1=1.4$ ,  $n_2=1.7$  的两薄玻璃片覆盖, 则玻璃片覆盖前第 5 级亮条纹恰好移动到屏幕中央原零级明条纹的位置, 如果入射光的波长为  $4.8 \times 10^{-7} \text{m}$ , 求玻璃片的厚度。 B.  $8 \times 10^{-6} \text{m}$

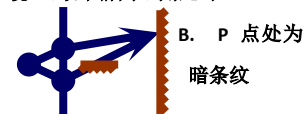
8. 如图所示, 沉积在玻璃衬底下的氧化钽薄层从 A 到 B 厚度递减到零, 从而形成一劈尖, 为测定氧化钽薄层的厚度  $e$ , 用波长为 632.8nm 的 He-Ne 激光垂直照在薄层上, 观察到楔形部分共出现 11 条暗纹, 且 A 处恰好为暗纹位置。已知氧化钽的折射率为 2.21, 玻璃的折射率为 1.5, 则氧化钽薄层的厚度  $e$  为 ( )



D.  $1.43 \mu\text{m}$

9. 在玻璃 (折射率  $n_3=1.60$ ) 表面镀一层  $\text{MgF}_2$  (折射率  $n_2=1.38$ ) 薄膜作为增透膜。为了使波长为  $5000 \times 10^{-10} \text{m}$  的光从空气正入射时尽可能少反射,  $\text{MgF}_2$  薄膜的最小厚度应是 ( ) D.  $906 \times 10^{-10} \text{m}$

10. 双缝干涉实验中, 屏幕 E 上 P 点是明条纹, 若将  $S_2$  盖住, 并在  $S_1$ ,  $S_2$  连线垂直平分面处放一反射镜 M, 如图所示, 则此时 ( )



B. P 点处为暗条纹

### (二) 填空题

1. 真空中的波长  $\lambda$  为的单色光在折射率为  $n$  的媒质中由 A 点传到 B 点时, 相位改变量为  $3\pi$ , 则光程的改变量为  $3\lambda/2$ , 光从 A 传到 B 所走过的几何路程为  $3\lambda/2n$

2. 如图所示, 在杨氏双缝实验中, 若用红光做实验, 则相邻干涉条纹间距比用紫光做实验时相邻干涉条纹间距 大, 若在光源  $S_2$  右侧光路上放置一薄玻璃片, 则中央明纹将向 下 移动。



3. 没做

4. 光强为  $I_0$  的两束相干光相遇而发生干涉时, 在相遇区域内有可能出现的最大光强是  $4I_0$ 。

5. 用单色光垂直照射空气劈尖上, 观察反射光的干涉, 则棱边处是 暗 纹, 照射置于空气中的玻璃劈尖时, 棱边处是 暗。

6. 用波长  $\lambda$  为的单色光垂直照射到空气劈尖上, 从反射光中观察干涉条纹, 距顶点  $L$  处是暗条纹, 使劈尖角  $q$  连续变大, 直到该点处再次出现暗条纹为止, 劈尖角的改变量  $\Delta q$  是  $\lambda/2L$ 。

7. 在杨氏双缝实验中, 双缝间距  $a=0.20\text{mm}$ , 缝屏间距  $D=1.0\text{m}$ , 若第二级明条纹离屏中心的距离为  $6.0\text{mm}$ , 此单色光的波长 600nm, 相邻两明条纹间的距

离为 3mm

8. 在双缝干涉实验中, 双缝分别被折射率  $n_1$  和  $n_2$  的透明薄膜盖住, 二者的厚度均为  $e$ , 波长为  $\lambda$  的平行单色光垂直照射到双缝上, 在屏中央处, 两束相干光的相位差  $\Delta\phi = \frac{2\pi(n_2-n_1)e}{\lambda}$ 。

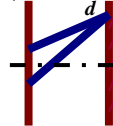
9. 在不同的均匀媒质中, 若单色光通过的光程相等时, 其几何路程 不同, 其所需时间 相同。

10. 没做

### (三) 计算题

1. 在杨氏双缝干涉实验装置中, 双缝与屏之间的距离  $D=120\text{cm}$ , 两缝之间的距离  $d=0.50\text{mm}$ , 用波长  $\lambda=500\text{nm}$  的单色光垂直照射双缝。(1) 求原点 O (零级明条纹所在处) 上方的第五级明条纹的坐标  $x$ ; (2) 如用厚度  $l=1.0 \times 10^{-2}\text{mm}$ , 折射率  $n=1.58$  的透明薄膜覆盖在图中的  $S_1$  缝后面, 求上述第五级明条纹的坐标  $x'$ 。

$$\text{解: (1) } x = k \frac{D}{d} \lambda = 6.0\text{mm}$$



$$(2) \delta = r_2 - (r_1 - l + n l) = d \frac{x'}{D} - (n-1)l = 5\lambda \Rightarrow \frac{x'}{D} = \frac{(n-1)l}{d} = 19.9\text{mm}$$

$$\text{或 } \Delta\delta = \frac{a}{D} \Delta x = (n-1)l \rightarrow \Delta x \\ x' = x + \Delta x$$

2. 波长为  $6.5 \times 10^{-7}\text{m}$  的红光垂直照射到劈尖形的液膜上, 膜的折

射率为 1.33, 液面两侧是同一种媒质, 观察反射光的干涉条纹。

(1) 离开劈尖棱边的第一条明条纹中心所对应的膜厚度是多少?

(2) 若相邻的明条纹间距  $l=6\text{mm}$ , 上述第一明纹中心到劈尖棱边的距离  $x$  是多少?

解:

$$(1) 2ne + \frac{\lambda}{2} = k\lambda \quad (k=1) \Rightarrow e = \frac{\lambda}{4n} = 1.22 \times 10^{-7}\text{m}$$

$$(2) x = \frac{l}{2} = 3\text{mm}$$

3. 没做

4. 用波长  $500\text{nm}$  ( $1\text{nm}=10^{-9}\text{m}$ ) 单色光垂直照射由两块光学平玻璃构成的空气劈尖上, 观察反射光的干涉现象, 距劈尖棱边  $l=1.56\text{cm}$  的 A 处是从棱边算起的第四个暗条纹中心。

(1) 此空气劈尖的劈尖角;

(2) 改用  $600\text{nm}$  的单色光垂直照射到此劈尖上仍然观察反射光的干涉条纹, A 处明条纹还是暗条纹?

(3) 在第 (2) 问的情形从棱边到 A 处的范围内共有几条明纹? 几条暗纹?

$$(1) \delta = 2e_k + \frac{\lambda}{2} = (2k+1) \frac{\lambda}{2}$$

$$k=3, e_k=1.5\lambda, \theta = \frac{e_k}{l} = 4.8 \times 10^{-5}$$

$$(2) \delta = 2e_{1.56} + \frac{\lambda'}{2} = 3\lambda'$$

A 处是明条纹

$$(3) \delta = 3\lambda' \Rightarrow \text{有 3 条明纹 3 条暗纹}$$

以暗纹开始明纹结束

5. 一单色光垂直照射在厚度均匀的薄油膜上, 油膜覆盖在玻璃板上, 油的折射率为 1.3, 玻璃的折射率为 1.5, 若单色光的波长可由光源连续可调, 并观察到  $500\text{nm}$  与  $700\text{nm}$  这两个波长的单色光在反射中消失, 求油膜的最小厚度。

$$\text{解: } \begin{cases} 2n_2e = (2k_1+1) \frac{\lambda_1}{2} \\ 2n_2e = (2k_2+1) \frac{\lambda_2}{2} \end{cases} \\ \lambda_1 = 500\text{nm} \\ \lambda_2 = 700\text{nm}$$

$$\Rightarrow \frac{\lambda_1}{\lambda_2} = \frac{2k_1+1}{2k_2+1} = \frac{7}{5} = \frac{14}{10} = L$$

取  $k_1=3$ ,  $k_2=2$  带入

$$e_{\text{最小}} = 6.73 \times 10^{-7}\text{m}$$

6. 在棱镜 ( $n_1=1.52$ ) 表面镀一层增透膜 ( $n_2=1.30$ ), 为使此增透膜适用于波长为  $5.50 \times 10^{-7}\text{m}$  的单色光, 求:

(1) 膜的最小厚度  $e_1$ ;

(2) 膜的次最小厚度  $e_2$ ;

(3) 若用白光入射, 膜厚  $e_2$  时, 反射光是什么颜色?

$$\text{解 } \delta = 2n_2e = (2k+1) \frac{\lambda}{2}$$

$$(1) k=0 \Rightarrow e_1 = 1.06 \times 10^{-7}\text{m}$$

$$(2) k=1 \Rightarrow e_2 = 3.18 \times 10^{-7}\text{m}$$

$$(3) 2n_2e_2 = k\lambda' \\ \begin{cases} k=1 & \lambda' = 8.25 \times 10^{-7}\text{m} \\ k=2 & \lambda' = 4.13 \times 10^{-7}\text{m} \end{cases}$$

取  $k=2$  紫光

7. 由两块玻璃片构成以空气劈尖，用波长  $\lambda=600\text{nm}$  的单色光垂直照射，观察干涉条纹。求：（1）第二条明纹与第五条明纹所对应的空气膜厚度之差；（2）假如在劈尖内充满折射率  $n=1.4$  的液体时，相邻明纹间距比劈尖内是空气时的间距缩小  $\Delta l=0.5\text{mm}$ ，劈尖角  $\theta$  是多少？

$$\text{解: (1)} \quad \begin{cases} 2e_2 + \frac{\lambda}{2} = 2\lambda \\ 2e_5 + \frac{\lambda}{2} = 5\lambda \end{cases}$$

$$\Rightarrow 2\Delta e_{s2} = \frac{3\lambda}{2} = 9 \times 10^{-7} \text{ m}$$

$$(2) \quad \Delta l_{\text{空气}} - \Delta l_{\text{液体}} = \frac{\lambda}{2\theta} - \frac{\lambda}{2n\theta} = \Delta l$$

$$\Rightarrow \theta = 1.71 \times 10^{-4} \text{ rad}$$

8. 没做

第七章 光的衍射

(一) 选择题

1.根据惠更斯——菲涅尔原理已知光在某时刻的波振面为 S，则 S 的前方某点 P 的光强度决定于波振面 S 上所有面积元发出的子波各自传到 P 点 ( ) D 振动的相干叠加

2.在单缝弗朗和费衍射实验中，波长为  $\lambda$  的平行光垂直入射宽度  $a=5\lambda$  的单缝，对应于衍射角  $30^\circ$  的方向，单缝处波面可分成的半波带数目为 (5)

3.在光栅弗朗和费衍射实验中，单色平行光由垂直射向光栅改变为斜入射光栅，观察到的光谱线 ( ) B 最高级次变大，条数不变

4. 包含波长为  $\lambda_a$  与  $\lambda_b$  的一束平行光垂直照射在单缝上，在衍射条纹中  $\lambda_a$  的第一极小恰与  $\lambda_b$  的第一极大位置重合，则

$\lambda_a : \lambda_b = 3 : 2$

5.在一衍射光栅中， $b=2a$ ，则产生缺级现象的级次为 (3, 6, 9……)

6.测量单色光的波长时，下列方法中最准确的是 (光栅衍射)

7.在弗朗和费单缝衍射装置中，将单缝宽度  $a$  稍稍变窄，同时使会聚透镜沿与缝垂直的方向上做微小位移，则屏幕上的中央衍射条纹将 (变宽，同时向上移动)

8.在单缝弗朗和费衍射装置中，当把单缝稍微上移时，衍射图样将 (不动)

(二) 填空题

1.在单缝弗朗和费衍射示意图中，所画出的各条正入射光线间距相等，那么光线 1、3 在屏幕上 p 点上相遇时的相位差为  $(2\pi) p$  点应为 (暗) 点

2.在单缝的弗朗和费衍射中，若衍射角增大，则菲涅尔半波带的数目 (增大)，半波带面积 (减少)，各级条纹的亮度随着级数的增大而 (减小)

3.有单色光垂直照射在单缝上，若缝宽  $a$  增大，则条纹间隔 (减少)，若波长  $\lambda$  增大，则条纹间隔 (变大) 当  $a \leq \lambda$  时，在屏幕上仅能见到 (部分中央明纹)

4.一每毫米有 500 条刻痕的衍射光栅观察波长为  $4.80 \times 10^{-7}$  的光波的衍射条纹，则光栅的光栅常数为  $(2 \times 10^{-6} \text{m})$  当光线垂直入射时，最多可观察到 (9) 条亮纹

5.用每毫米有 425 条刻痕的平面光栅观察  $\lambda = 5.89 \times 10^{-7} \text{m}$  的钠光谱，垂直入射时，能看到的最高级次普显示第 (3) 级，以  $i = 30^\circ$  斜入射时，能看到的最高级次普贤是第 (5) 级，原来的 0 级谱线处是现在是 (2 级)

6.在单缝的弗朗和费衍射试验中，屏上第三级暗纹对应的单缝处波面可划分为 (6) 个半波带，若将缝宽缩小一半，原来第三级暗纹处将是 (第一级明纹)

7.衍射光栅主极大公式  $(a+b)\sin\phi = \pm k\lambda$ ,  $k=0,1,\dots$  在  $k=2$  的方向上第一条缝与第六条缝对应点发出的两条颜射光的光程差  $\delta = 10\lambda$

8.在单缝衍射中，衍射角越大的那些明条纹的亮度越小，原因是，未抵消的半波带面积越小

9.用波长为  $\lambda$  的单色平行光垂直入射在一块多缝光栅上，其光栅常数  $d = 3 \mu\text{m}$ ，缝宽  $a = 1 \mu\text{m}$ ，则在单缝衍射的中央明纹范围内共有 (5) 条谱线

10.对英语单缝衍射第 4 级暗条纹，单缝处波面可分为 (8) 个半波带

(三) 计算题

1. 波长为  $5.00 \times 10^{-7} \text{m}$  的平行光垂直入射于一宽为  $1.00 \text{mm}$  的狭缝，若在缝后有一焦距为  $1.0 \text{m}$  的薄透镜，使光线聚焦于屏幕上。求从衍射图形中心点到下列各点的距离：(1)第一级暗条纹中心；(2)第一级明条纹中心；(3)第三级暗条纹中心。

解： (1)、(3) 
$$a \sin\phi = a \frac{x}{f} = \begin{cases} k\lambda & \text{暗} \\ (2k+1)\frac{\lambda}{2} & \text{明} \end{cases}$$

将  $k=1, 3$  代入暗纹条件  $X_1 = 5 \times 10^{-4} \quad X_2 = 15 \times 10^{-4}$

(2)将  $k=1$  代入明纹条件

$X_2 = 7.5 \times 10^{-4} \text{m}$

2. 以波长  $400 \text{nm} \sim 760 \text{nm}$  的白光垂直照射在光栅上，在它的衍射光谱中，第二级和第三级发生重叠，问第二级光谱被重叠的波长范围是多少？

解： 
$$\begin{aligned} (a+b)\sin\phi &= 3\lambda, 2\lambda' = 3\lambda \\ (a+b)\sin\phi &= 2\lambda' \\ \lambda' &= \frac{3 \times 4 \times 10^{-7}}{2} = 6 \times 10^{-7} \text{m} \end{aligned}$$

波长范围是：  $6.00 \times 10^{-7} \text{m} \sim 7.60 \times 10^{-7} \text{m}$

3. 波长  $\lambda = 600 \text{nm}$  的单色光垂直入射到一光栅上，测得第二级主极大衍射角为  $30^\circ$ ，且第三级是缺级。

问(1)光栅常数  $(a+b)$  等于多少？

(2)透光缝可能的最小宽度  $a$  等于多少？ (3)在选定了上述  $(a+b)$  和  $a$  之后，求在屏幕上可能呈现的全部主极大的级次。

解： (1)  $(a+b)\sin\phi = k\lambda \rightarrow a+b = 2.4 \times 10^{-6} \text{m}$

(2)  $k = \frac{a+b}{a} k' \rightarrow a = \frac{a+b}{k} k' = 0.8 \times 10^{-6} \text{m}, (k'=1)$

(3)  $k_m = \frac{a+b}{\lambda} = 4$

全部主极大的级次为： 0、 $\pm 1$ 、 $\pm 2$ 。

4. 一衍射光栅，每厘米有 200 条透光缝，每条透光缝宽为  $a = 2 \times 10^{-3} \text{cm}$ ，在光栅后放一焦距  $f = 1 \text{m}$  的凸透镜，现以  $\lambda = 600 \text{nm}$  的单色平行光垂直照射光栅，求：(1)透光缝  $a$  的单缝衍射中央明纹宽度为多少？(2)在该宽度内，有几个光栅衍射主极大？

解： (1)  $a \sin\phi = a \frac{x}{f} = k\lambda$

$x_0 = 3 \text{cm} \rightarrow l_0 = 6 \text{cm}$

(2)  $k = \frac{a+b}{a} k' = 2.5 k'$

在中央明纹范围内可见：

0、 $\pm 1$ 、 $\pm 2$  共 5 个主极大。